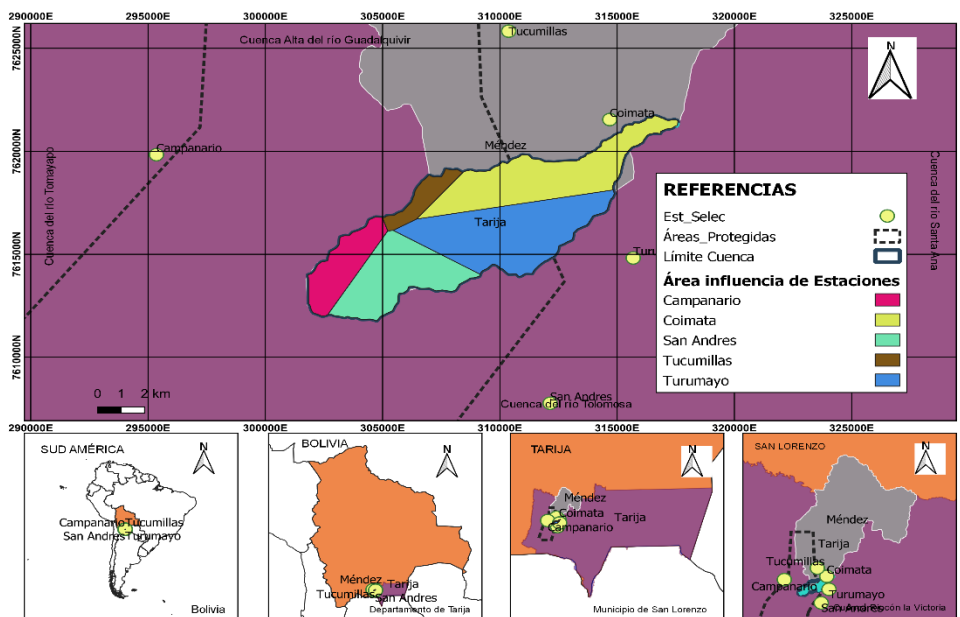


ANEXO 1. Polígonos de Thiessen de la cuenca Victoria.

Se recopiló información meteorológica del Servicio Nacional de Meteorología e Hidrología (SENAMHI), mediante polígonos de Thiessen determinó que las estaciones meteorológicas Campanario, Tucumillas, Coimata, Turumayu y San Andrés son las que tienen influencias sobre la cuenca.



Selección de estaciones meteorológicas.

Fuente: Elaboración propia, con ayuda Software Qgis.

En la Tabla se detalla información de las estaciones seleccionadas.

Tabla: Información de estaciones meteorológicas.

Estaciones	Coordenadas		Estado	Años de registro	Variable	Periodo Registro
Turumayo	315683,73 m E	7614821,24 m S	activa	20	P, T, HR, V	1999-2020
Tucumillas	310375,32 m E	7625833,36 m S	activa	41	P, T, V	1977-2020
San Andrés	312140,42 m E	7607767,12 m S	activa	45	P, T, H, V	1975-2020
Campanario	295357,44 m E	7619836,74 m S	activa	30	P, T, H, HS, V	1990-2020
Coimata	314684,77 m E	7621542,42 m S	activa	40	P, T, H, HS, V	1980-2020

Fuente: SENAMHI, 2020.

ANEXO 2. Recopilación de datos: Se procedió a buscar la información referente al incendio tanto la fecha, como así también el área afectada por el incendio en la Cuenca en estudio.

Tabla: Recopilación de datos

Institución	Descripción	Formato de Datos
PROCUENCA	Fisiografía	Shapefiles
	Geología	
	Pendiente terreno	
	Uso de suelo	
	Cicatriz incendio	
	Vegetación	
	Clima GMET2020	Raster NetCDF
	RAIN4BO	
	Modelo Weap Guadalquivir	
PROMETA	Capacidad uso de la tierra	Shapefiles
	erosión	
	riesgo erosión hídrica	
	Vegetación	
SENAMHI	Estaciones cercanas a la cuenca	Xlsx. (Excel)
COSAALT RL.	Aforo río Victoria	Xlsx. (Excel)
	Aforo canal Victoria	
Earthexplorer.usgs	Imágenes satelitales	Geotiff

Fuente: Elaboración propia, con apoyo bibliografía.

ANEXO 3. Clasificación NDVI

Tabla: Clasificación de la actividad fotosintética según el Índice de Vegetación de Diferencia Normalizada (NDVI).

NDVI	ACTIVIDAD FOTOSINTETICA
< 0	Nula
0 a 0,1	Muy baja
0,1 a 0,2	Baja
0,2 a 0,3	Media
0,3 a 0,4	Media alta
0,4 a 0,5	Alta
> 0,6	Muy alta

Fuente: Elaboración propia, con apoyo bibliografía. Duncan et al., 1993

ANEXO 4. Análisis espacial: Se clasificaron las imágenes satelitales y se analizaron las series temporales de imágenes para observar cómo evolucionó la vegetación luego del incendio con el tiempo.

Tabla: NDVI AÑO 2017

AÑO_2017	AREA_1 km ²	AREA_2 km ²	AREA_3 km ²	AREA_4 km ²	AREA_5 km ²	AREA_6 km ²	AREA_TOTAL km ²
14-jul	0,951	9,41	21,248	4,107	0,185	0,003	35,904
15-ago	2,056	31,107	2,629	0,109	0,004	0	35,905
2-oct	0,165	15,046	20,031	0,577	0,0078	0,008	35,8348
MAX	2,056	31,107	21,248	4,107	0,185	0,008	
MIN	0,165	9,41	2,629	0,109	0,004	0	
PROMEDIO	1,057	18,521	14,636	1,598	0,066	0,004	

Fuente: Elaboración propia, con apoyo software Qgis.

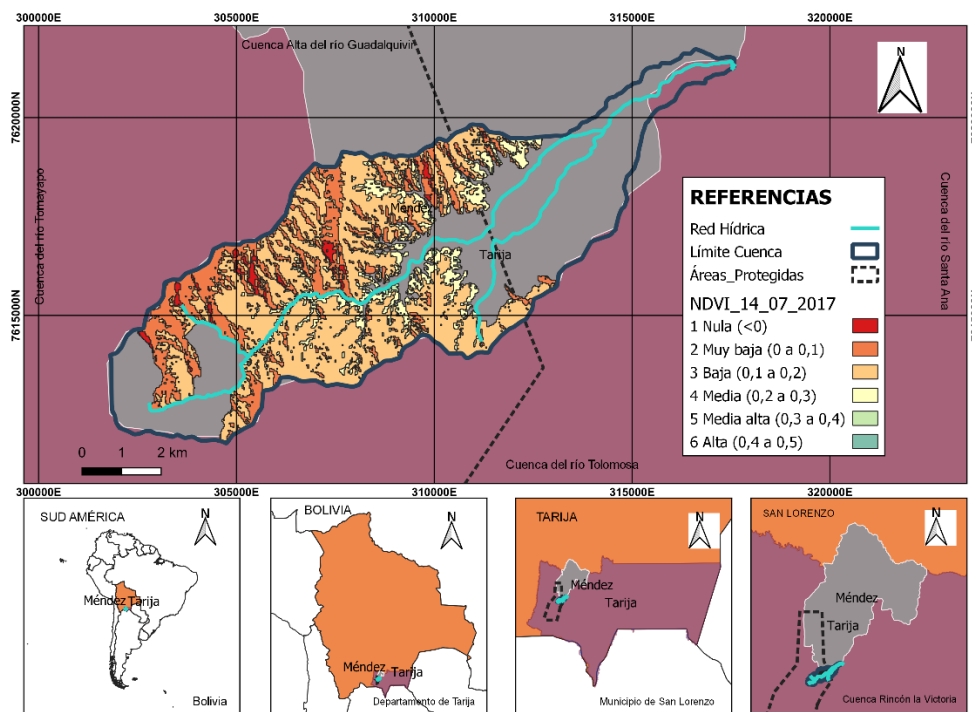


Figura: NDVI DE 14 Jul 2017 (antes del Incendio)

Fuente: Elaboración propia, con ayuda Software Qgis.

ANEXO 5. Cobertura Vegetal.

Tabla: Descripción de Vegetación

NRO	SIMBOLO	DESCRIPCION DE LAS UNIDADES DE VEGETACION	N. LOCAL
1	6c	Áreas antropicas (Cultivos agrícolas), Matorrales	Cultivos
2	Pf	Plantaciones Forestales	Eucalipto
3	3B4c	Matorral ralo a denso, alto, xeromórfico, deciduo por sequía, montano	Churqui, pastizal
4	3C4c	Matorral ralo a semidenso, alto, xeromórfico, deciduo por sequía, montano	Churqui, pastizal(cultivo)
5	3A3c	Matorral semidenso, medio a alto mayormente siempre verde,transicional, montano	Thola grande
6	3A4c	Matorral denso, medio a alto mayormente caducifolio, semideciduo, montano	Thola grande, pajonal
7	5F14c	Vegetación herbácea, graminoide baja, mixto, montano	Pajonal - Arbustal
8	5F12c	Vegetación herbácea, graminoide baja, sin sinusia arbustiva, montano	Pastizal
9	5F9c	Vegetación herbácea, graminoide baja, con sinusia arbustiva, montano	Pastizal - Arbustal
10	5F12d	Vegetación herbácea, graminoide baja, sin sinusia arbustiva, cespitoso, subalpino	Pajonal
11	5F12h	Vegetación herbácea, graminoide baja, sin sinusia arbustiva, cespitoso, subalpino	Pastizal
12	1A3c	Bosque denso a ralo mayormente siempre verde, transicional, montano	Pino de cerro, alizo flojo, chato, alizo rojo

Fuente: Elaboración propia, con apoyo de bibliografía.

ANEXO 4. Análisis espacial: Se clasificaron las imágenes satelitales y se analizaron las series temporales de imágenes para observar cómo evolucionó la vegetación luego del incendio con el tiempo.

Tabla: NDVI AÑO 2017

AÑO_2017	AREA_1 km ²	AREA_2 km ²	AREA_3 km ²	AREA_4 km ²	AREA_5 km ²	AREA_6 km ²	AREA_TOTAL km ²
14-jul	0,951	9,41	21,248	4,107	0,185	0,003	35,904
15-ago	2,056	31,107	2,629	0,109	0,004	0	35,905
2-oct	0,165	15,046	20,031	0,577	0,0078	0,008	35,8348
MAX	2,056	31,107	21,248	4,107	0,185	0,008	
MIN	0,165	9,41	2,629	0,109	0,004	0	
PROMEDIO	1,057	18,521	14,636	1,598	0,066	0,004	

Fuente: Elaboración propia, con apoyo software Qgis.

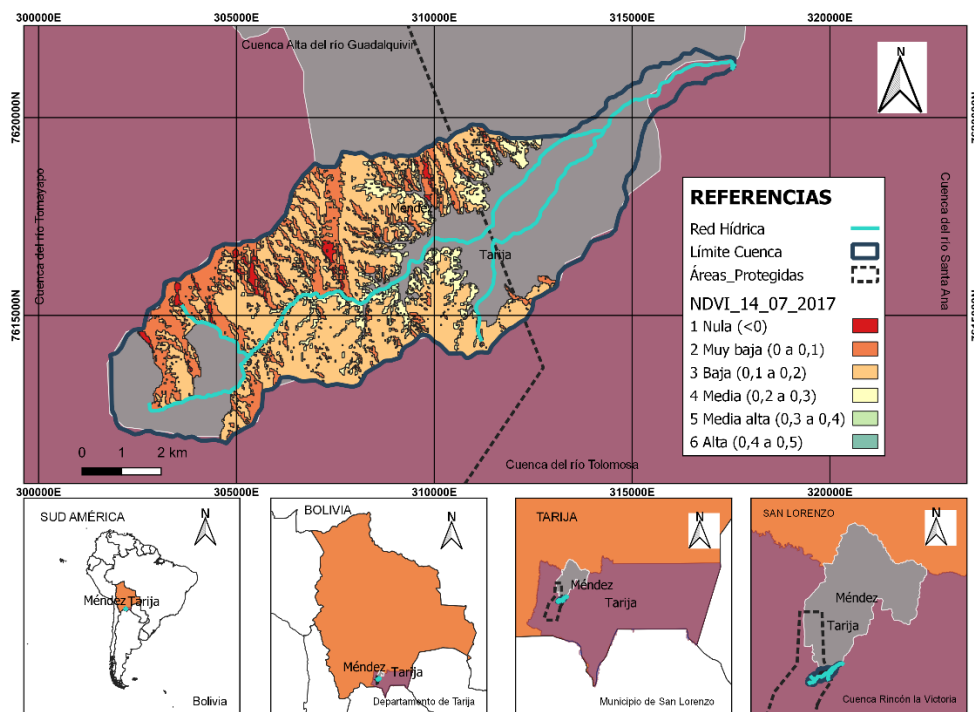


Figura: NDVI DE 14 Jul 2017 (antes del Incendio)

Fuente: Elaboración propia, con ayuda Software Qgis.

ANEXO 3. Clasificación NDVI

Tabla: Clasificación de la actividad fotosintética según el Índice de Vegetación de Diferencia Normalizada (NDVI).

NDVI	ACTIVIDAD FOTOSINTETICA
< 0	Nula
0 a 0,1	Muy baja
0,1 a 0,2	Baja
0,2 a 0,3	Media
0,3 a 0,4	Media alta
0,4 a 0,5	Alta
> 0,6	Muy alta

Fuente: Elaboración propia, con apoyo bibliografía. Duncan et al., 1993